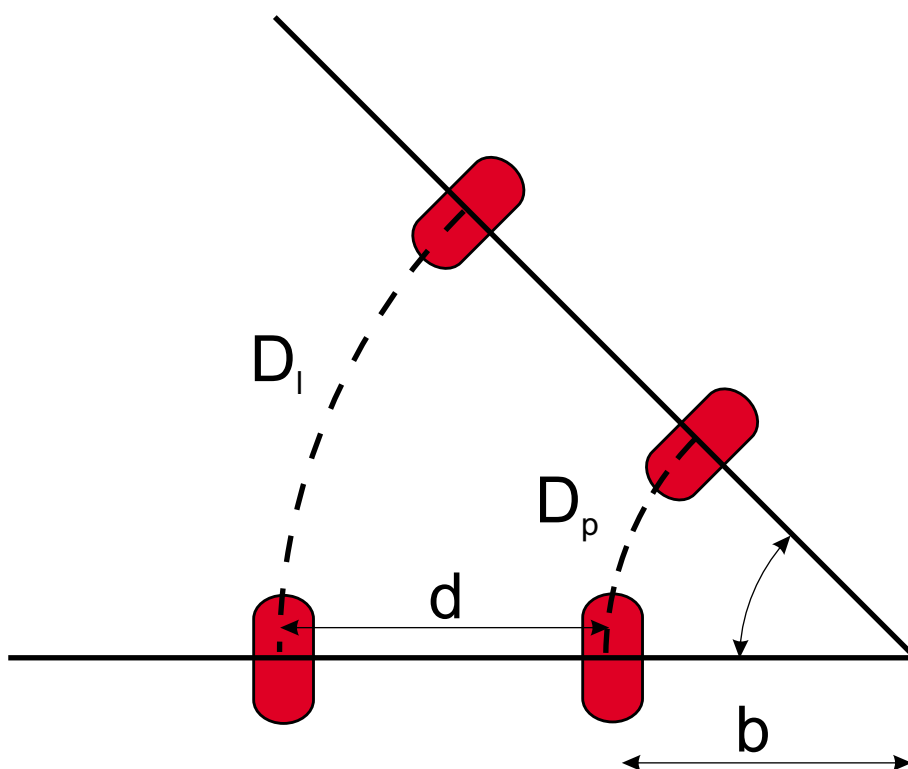


## Rodzaje baz jezdnych robotów mobilnych

- **Napęd różnicowy** – dwa niezależnie napędzane koła jednej osi, dla zachowania równowagi dodane jest trzecie koło bierne (lub dwa bierne koła)
- **Napęd synchroniczny** – trzy napędzane koła w układzie trójkątnym, wszystkie skierowane w jednym kierunku z możliwością zmiany kierunku ruchu bez zmiany orientacji bazy
- **Napęd dookólny (wielokierunkowy)** – podobny do napędu synchronicznego, ale każde koło jest złożonym mechanizmem i może toczyć się w dowolnym kierunku
- **Napęd Ackermana (samochód kinematyczny)** – typowy czterokołowy pojazd, napęd na dwa koła (zazwyczaj przednie) jednej osi i dwa koła drugiej osi nie są napędzane

### Napęd różnicowy:



Rys. 1: Napęd różnicowy – skręt w prawo

Przemieszczenie i orientacja robota:

$$\begin{cases} x_{n+1} = x_n + D \sin \theta \\ y_{n+1} = y_n + D \cos \theta \end{cases}$$

gdzie  $D$  – przemieszczenie robota,  $\theta$  – orientacja robota

$$D = \frac{D_l + D_p}{2}$$

gdzie  $D_l$ ,  $D_p$  przemieszczenie lewego i prawego koła,

Dla lewego koła mamy

$$C_l = 2 \pi (b + d)$$

gdzie  $d$  – efektywny rozstaw kół,  $b$  – promień skrętu prawego koła

$$\frac{D_l}{C_l} = \frac{\theta}{2 \pi}$$

z powyższych zależności otrzymujemy orientację robota

$$\theta = \frac{D_l}{b + d} \quad (1)$$

Dla koła prawego mamy

$$C_p = 2 \pi b$$

$$\frac{D_p}{C_p} = \frac{\theta}{2 \pi}$$

$$b = \frac{D_p}{\theta} \quad (2)$$

Z równań (1) i (2) otrzymujemy

$$\theta = \frac{D_l - D_p}{d} \quad (3)$$

Orientacja robota nie zależy od toru ruchu.

Obliczanie przemieszczeń kół:

$$D_i = \frac{2 \pi N_i}{C_i} R_{ei}, \quad i = l, p \quad (4)$$

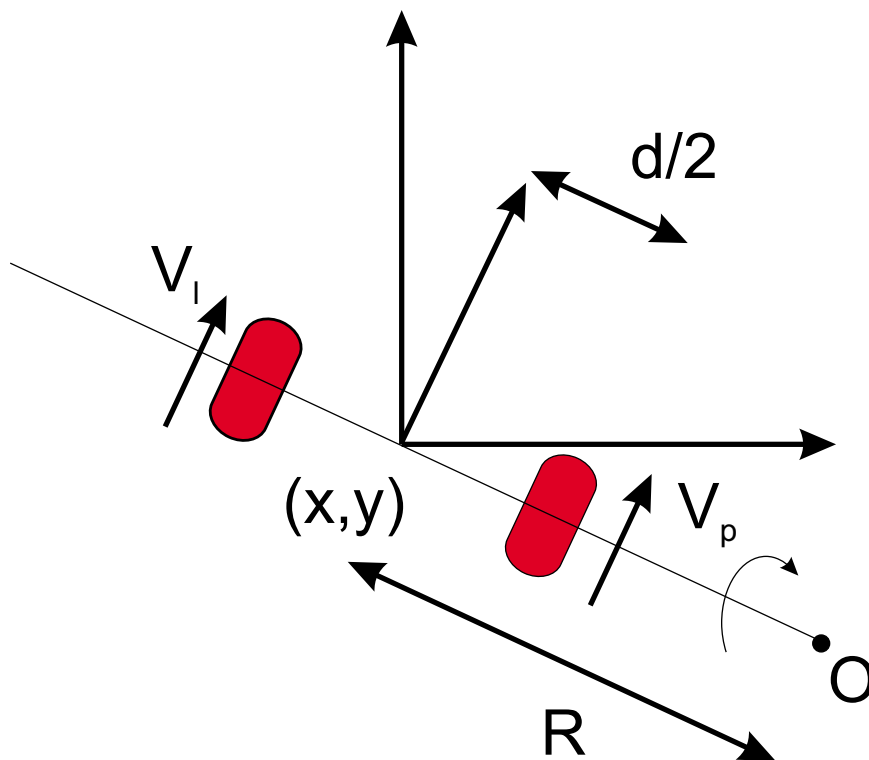
gdzie:

$N_i$  – liczba odczytanych z enkodera impulsów koła  $i$ ,

$C_i$  – rozdzielczość enkodera (liczba impulsów na jeden obrót koła  $i$ ,

$R_{ei}$  – efektywny promień koła  $i$

Koła poruszają się z tą samą prędkością kątową  $\omega$  wokół chwilowego środka obrotu  $O$



Rys. 2: Napęd różnicowy – prędkość liniowa i obrotowa

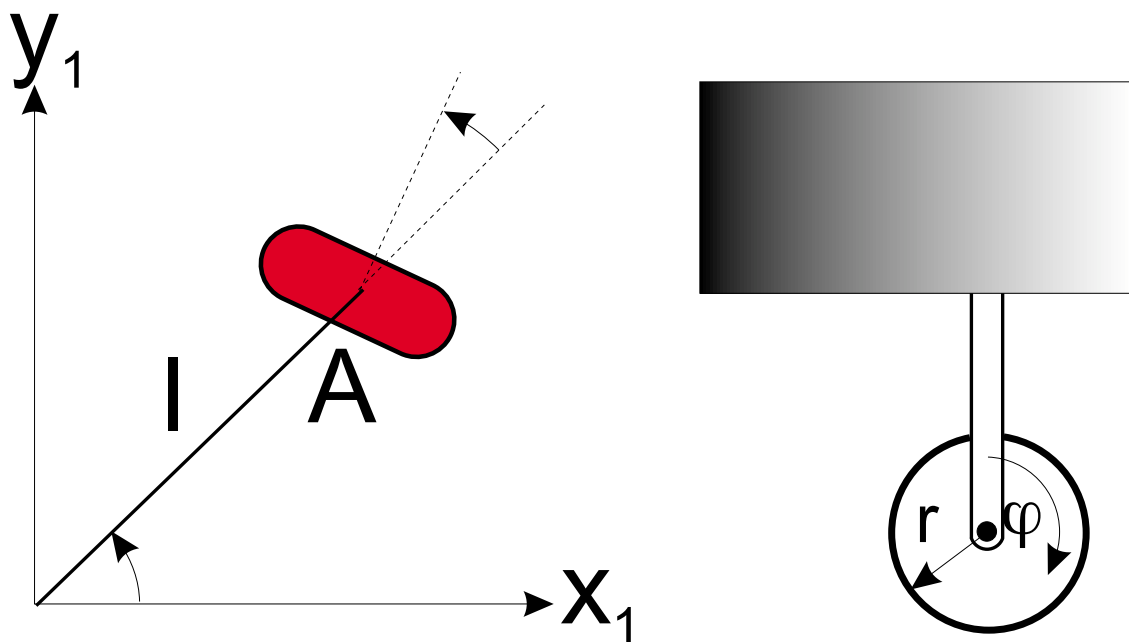
$$\omega \left( R + \frac{d}{2} \right) = v_p$$

$$\omega \left( R - \frac{d}{2} \right) = v_l,$$

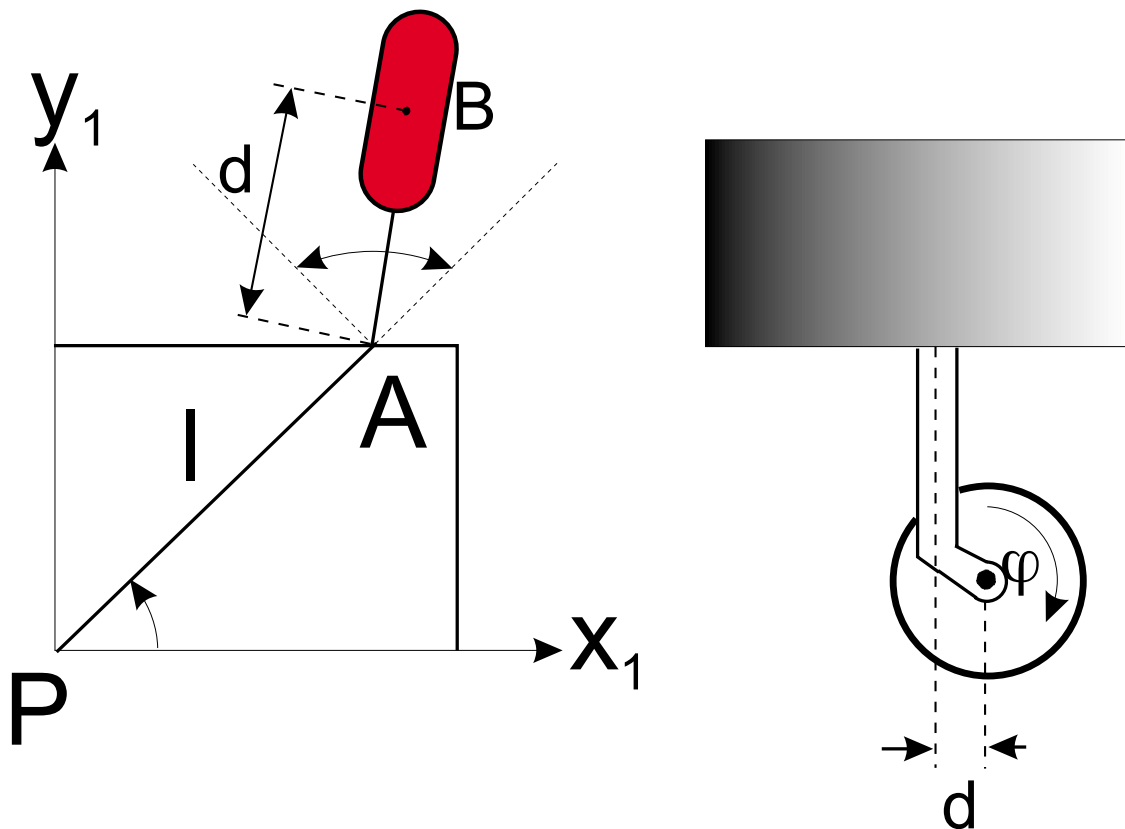
wielkości  $\omega$ ,  $v_r$ ,  $v_l$  oraz  $R$  są zmiennymi. Dla dowolnej chwili czasu

$$R = \frac{d v_p + v_l}{2 v_l - v_p}, \quad \omega = \frac{v_l - v_p}{d}$$

## Przykładowe typy kół



Rys. 3: Koło stałe  $\beta = const$  i orientowalne względem środka koła  $\beta = \beta(t)$



Rys. 4: Koło orientowalne  $\beta = \beta(t)$  względem osi nie przechodzącej przez środek koła

## Więzy (ograniczenia) ruchu pojedynczego koła

### I. Koło zwykłe

#### Ia. koło stałe

wzdłuż płaszczyzny koła (brak poślizgu wzdłużnego)

$$[-\sin(\alpha + \beta) \cos(\alpha + \beta) l \cos(\beta)] R(\theta)\dot{\xi}(t) + r\dot{\varphi}(t) = 0 \quad (5)$$

ortogonalne do płaszczyzny koła (brak poślizgu bocznego)

$$[\cos(\alpha + \beta) \sin(\alpha + \beta) l \sin(\beta)] R(\theta)\dot{\xi}(t) = 0 \quad (6)$$

#### Ib. koło orientowalne względem środka

wzdłuż płaszczyzny koła (brak poślizgu wzdłużnego)

$$[-\sin(\alpha + \beta(t)) \cos(\alpha + \beta(t)) l \cos(\beta(t))] R(\theta)\dot{\xi}(t) + r\dot{\varphi}(t) = 0 \quad (7)$$

ortogonalne do płaszczyzny koła (brak poślizgu bocznego)

$$[\cos(\alpha + \beta(t)) \sin(\alpha + \beta(t)) l \sin(\beta(t))] R(\theta)\dot{\xi}(t) = 0 \quad (8)$$

#### Ic. koło orientowalne mimośrodowo

wzdłuż płaszczyzny koła (brak poślizgu wzdłużnego)

$$[-\sin(\alpha + \beta(t)) \cos(\alpha + \beta(t)) l \cos(\beta(t))] R(\theta)\dot{\xi}(t) + r\dot{\varphi}(t) = 0 \quad (9)$$

ortogonalne do płaszczyzny koła (brak poślizgu bocznego)

$$[\cos(\alpha + \beta(t)) \sin(\alpha + \beta(t)) d + l \sin(\beta(t))] R(\theta)\dot{\xi}(t) + d\dot{\beta}(t) = 0 \quad (10)$$

### II. koło szwedzkie

$$[-\sin(\alpha + \beta + \gamma) \cos(\alpha + \beta + \gamma) l \cos(\beta + \gamma)] R(\theta)\dot{\xi} + r \cos \gamma \dot{\varphi} = 0 \quad (11)$$

Wprowadzamy oznaczenia na kąty obrotu kół

$$\varphi(t) = \begin{bmatrix} \varphi_f(t) \\ \varphi_c(t) \\ \varphi_{oc}(t) \\ \varphi_{sw}(t) \end{bmatrix}$$

Ograniczenia (więzy) ruchu można wyrazić w ogólnej postaci

$$J_1(\beta_c, \beta_{oc})R(\theta)\dot{\xi} + J_2\dot{\varphi} = 0 \quad (12)$$

$$C_1(\beta_c, \beta_{oc})R(\theta)\dot{\xi} + C_2\dot{\beta}_{oc} = 0 \quad (13)$$

przy czym

$$J_1(\beta_c, \beta_{oc}) \triangleq \begin{bmatrix} J_{1f} \\ J_{1c}(\beta_c) \\ J_{1oc}(\beta_{oc}) \\ J_{1sw} \end{bmatrix}, C_1(\beta_c, \beta_{oc}) \triangleq \begin{bmatrix} C_{1f} \\ C_{1c}(\beta_c) \\ C_{1oc}(\beta_{oc}) \end{bmatrix}, C_2 \triangleq \begin{bmatrix} 0 \\ 0 \\ C_{2oc} \end{bmatrix}$$

gdzie powyższe macierze otrzymano z (5), (7), (9) i (11). Macierze  $J_{1f}$  i  $J_{1sw}$  są stałe pozostałe są zmienne.  $J_2$  jest stała, której elementy na diagonalu są promieniami kół, z wyjątkiem kół szwedzkich dla których elementy te są  $r \cos \gamma$ . Rozważmy pierwszych  $N_f + N_c$  równań więzów (13)

$$C_{1f}R(\theta)\dot{\xi} = 0 \quad (14)$$

$$C_{1c}(\beta_c)R(\theta)\dot{\xi} = 0 \quad (15)$$

Z powyższych równań wynika, że wektor  $R(\theta)\dot{\xi}$  należy do przestrzeni zerowej macierzy

$$C_1^*(\beta_c) = \begin{bmatrix} C_{1f} \\ C_{1c}(\beta_c) \end{bmatrix} \quad (16)$$

tzn.  $R(\theta)\dot{\xi} \in \mathcal{N}(C_1^*(\beta_c))$ . Jeśli  $\text{rank}(C_1^*(\beta_c)) = 3 \Rightarrow R(\theta)\dot{\xi} = 0$  i ruch na płaszczyźnie jest niemożliwy.

**Stopień mobilności robota  $\delta_m$ :**

$$\delta_m = \dim \mathcal{N}(C_1^*(\beta_c)) = 3 - \text{rank}(C_1^*(\beta_c))$$

Rozważamy roboty niezdegenerowane, tzn. spełniające założenia:

1. Jeśli robot ma więcej niż jedno zwykłe stałe koło (tj.  $N_f > 1$ , to koła te mają wspólną oś, czyli  $\text{rank } C_{1f} \leq 1$
2. Środki kół orientowalnych względem prostej przechodzącej przez środek koła nie są współosiowe z kołami stałymi, czyli  $\text{rank } C_1^*(\beta_c) = \text{rank } C_{1f} + \text{rank } C_{1c}(\beta_c)$
3. Liczba  $\text{rank } C_{1c}(\beta_c) \leq 2$  jest liczbą kół orientowalnych względem prostej przechodzącej przez środek koła, które mogą być orientowane niezależnie dla kierowania robotem. Liczba ta jest nazywana **stopniem sterowności (kierowalności) robota**  $\delta_s$ :

$$\delta_s = \text{rank } C_{1c}(\beta_c)$$

Można wyróżnić pięć nieosobliwych struktur spełniających praktyczne warunki:

1. stopień mobilności jest z zakresu

$$1 \leq \delta_m \leq 3 \quad (17)$$

Rozważamy tylko takie przypadki gdy ruch jest możliwy.

2. stopień sterowności jest z zakresu

$$0 \leq \delta_s \leq 2 \quad (18)$$

Górna granica jest osiągnięta dla robotów bez stałych kół ( $N_f = 0$ ), dolna granica jest osiągnięta, gdy robot nie ma kół orientowalnych względem prostej przechodzącej przez środek koła

3. spełniona jest ponadto nierówność

$$2 \leq \delta_m + \delta_s \leq 3 \quad (19)$$

Istnieje zatem pięć typów robotów kołowych mających praktyczne znaczenie, dla których spełnione są warunki (17), (18), (19) i

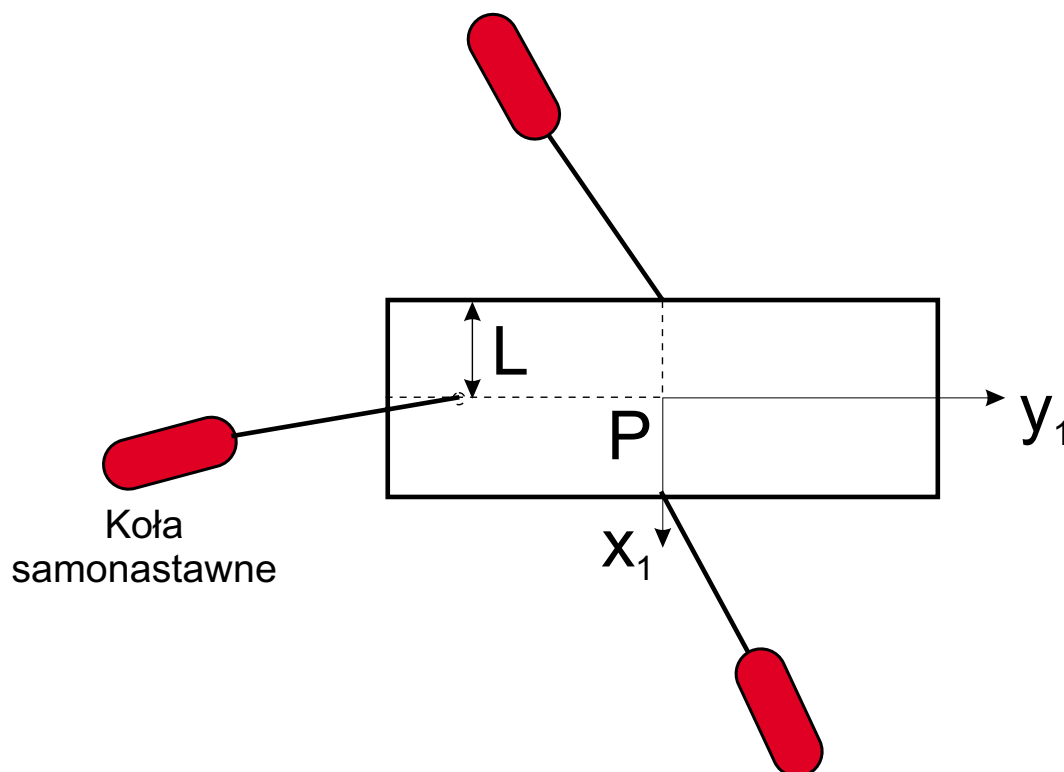
odpowiada to parom:

$\delta_m$	3	2	2	1	1
$\delta_s$	0	0	1	1	2

## Typy robotów trójkołowych

**Typ (3, 0)** – robot nie ma stałych kół i nie ma kół orientowalnych względem prostej przechodzącej przez środek koła. Są to roboty dookólne mogące poruszać się w każdej chwili w dowolnym kierunku na płaszczyźnie bez zmiany orientacji tzn. mają pełną mobilność.

koła	$\alpha$	$\beta$	$l$
1oc	0	-	$L$
2oc	$\pi$	-	$L$
3oc	$\frac{3\pi}{2}$	-	$L$



Rys. 5: Robot z możliwością ruchu w dowolnym kierunku bez reorientacji,  $\delta_m = 3$ ,  $\delta_s = 0$

Macierze w równaniach więzów mają następującą postać:

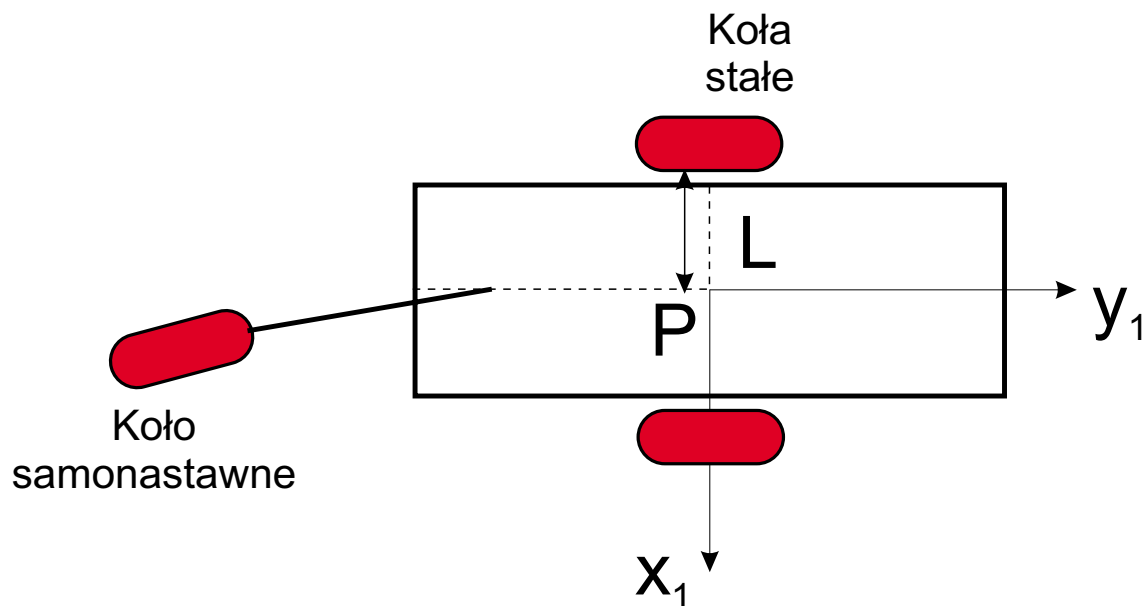
$$J_1 = \begin{bmatrix} -\sin \beta_1 & \cos \beta_1 & L \cos \beta_1 \\ \sin \beta_2 & -\cos \beta_2 & L \cos \beta_2 \\ \cos \beta_3 & \sin \beta_3 & L \cos \beta_3 \end{bmatrix}; J_2 = \text{diag}(r)$$

$$C_1 = \begin{bmatrix} \cos \beta_1 & \sin \beta_1 & d + L \sin \beta_1 \\ -\cos \beta_2 & -\sin \beta_2 & d + L \sin \beta_2 \\ \sin \beta_3 & -\cos \beta_3 & d + L \sin \beta_3 \end{bmatrix}; C_2 = \text{diag}(d)$$



**Typ (2, 0)** – robot nie ma kół orientowalnych, ma jedno lub kilka kół stałych na wspólnej osi.

koła	$\alpha$	$\beta$	$l$
1f	0	0	$L$
2f	$\pi$	0	$L$
3oc	$\frac{3\pi}{2}$	-	$L$



Rys. 6: Robot z kołami stałymi na jednej osi i jednym samonastawnym,  $\delta_m = 2$ ,  $\delta_s = 0$

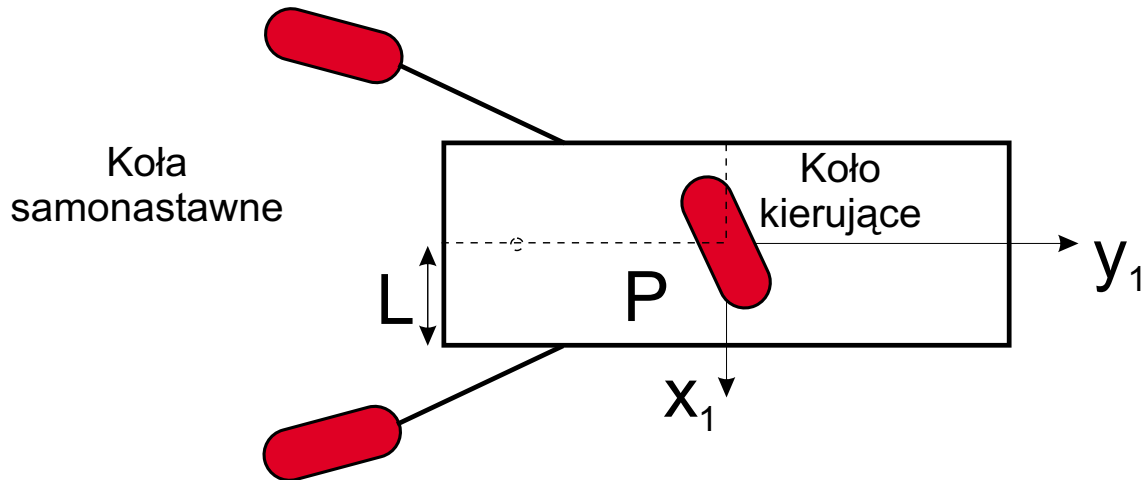
Macierze w równaniach więzów mają następującą postać:

$$J_1 = \begin{bmatrix} 0 & 1 & L \\ 0 & -1 & L \\ \cos \beta_3 & \sin \beta_3 & L \cos \beta_3 \end{bmatrix}; J_2 = \text{diag}(r)$$

$$C_1 = \begin{bmatrix} 1 & 0 & 0 \\ -1 & 0 & 0 \\ \sin \beta_3 & -\cos \beta_3 & d + L \sin \beta_3 \end{bmatrix}; C_2 = \begin{bmatrix} 0 \\ 0 \\ d \end{bmatrix}$$

**Typ (2, 1)** – robot nie ma kół stałych. Ma co najmniej jedno koło sterowne (orientowalne), jeśli jest więcej kół orientowalnych to muszą być one koordynowane tak aby  $\delta_s = 1$ . na wspólnej osi.

koła	$\alpha$	$\beta$	$l$
1c	0	-	0
2oc	$\frac{5\pi}{4}$	-	$\sqrt{2}L$
3oc	$\frac{7\pi}{4}$	-	$\sqrt{2}L$



Rys. 7: Robot z kołem kierującym i dwoma samonastawnymi,  $\delta_m = 2$ ,  $\delta_s = 1$

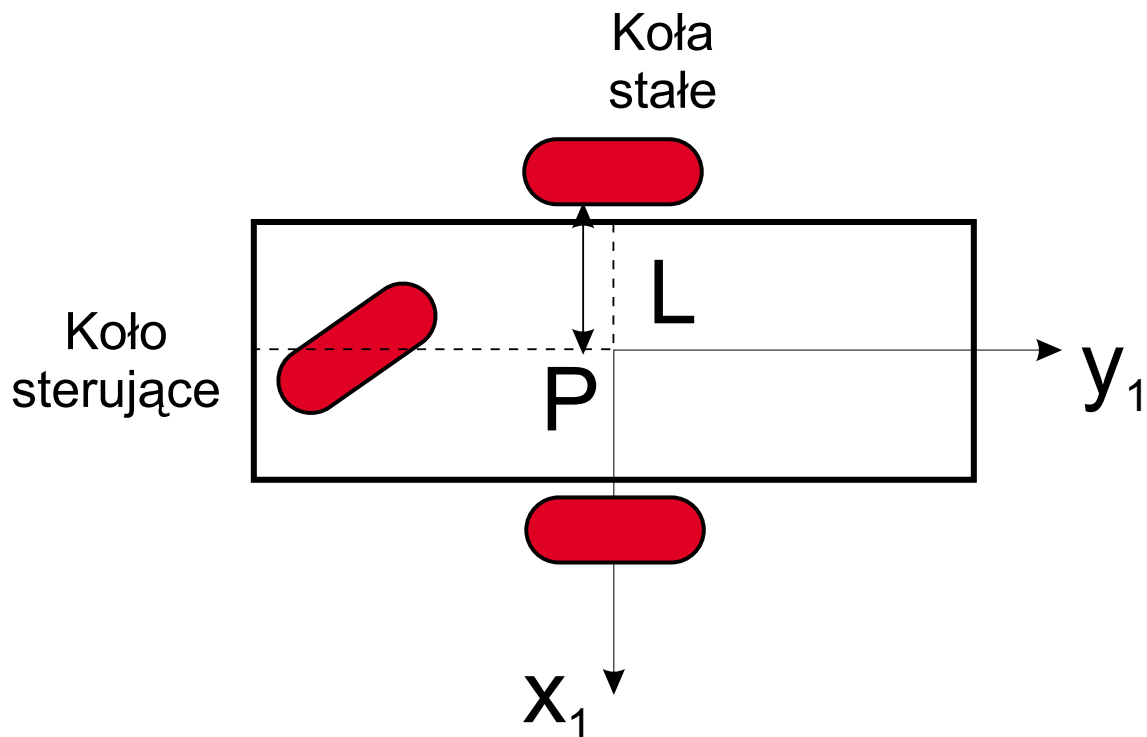
Macierze w równaniach więzów mają następującą postać:

$$J_1 = \begin{bmatrix} -\sin \beta_1 & \cos \beta_1 & l \cos \beta_1 \\ \sin(\beta_2 + \frac{\pi}{4}) & -\cos(\beta_2 + \frac{\pi}{4}) & l \cos \beta_2 \\ -\sin(\beta_3 - \frac{\pi}{4}) & \sin(\beta_3 - \frac{\pi}{4}) & l \cos \beta_3 \end{bmatrix}; J_2 = \text{diag}(r)$$

$$C_1 = \begin{bmatrix} \cos \beta_1 & \sin \beta_1 & l \sin \beta_1 \\ -\cos(\beta_2 + \frac{\pi}{4}) & -\sin(\beta_2 + \frac{\pi}{4}) & d + l \sin \beta_2 \\ \cos(\beta_3 - \frac{\pi}{4}) & \sin(\beta_3 - \frac{\pi}{4}) & d + l \sin \beta_3 \end{bmatrix}; C_2 = \begin{bmatrix} 0 \\ \text{diag}(d) \end{bmatrix}$$

**Typ (1, 1)** – robot ma jedno lub więcej kół stałych na wspólnej osi i co najmniej jedno koło orientowalne (kierowalne), którego środek nie leży na osi łączącej koła stałe (np. samochód kinematyczny, dziecięcy rower trójkołowy). na wspólnej osi.

koła	$\alpha$	$\beta$	$l$
1f	0	0	$L$
2f	$\pi$	0	$L$
3c	$\frac{3\pi}{2}$	-	$L$



Rys. 8: Robot z dwoma stałymi kołami i jednym kierującym (samochód),  $\delta_m = 1$ ,  $\delta_s = 1$

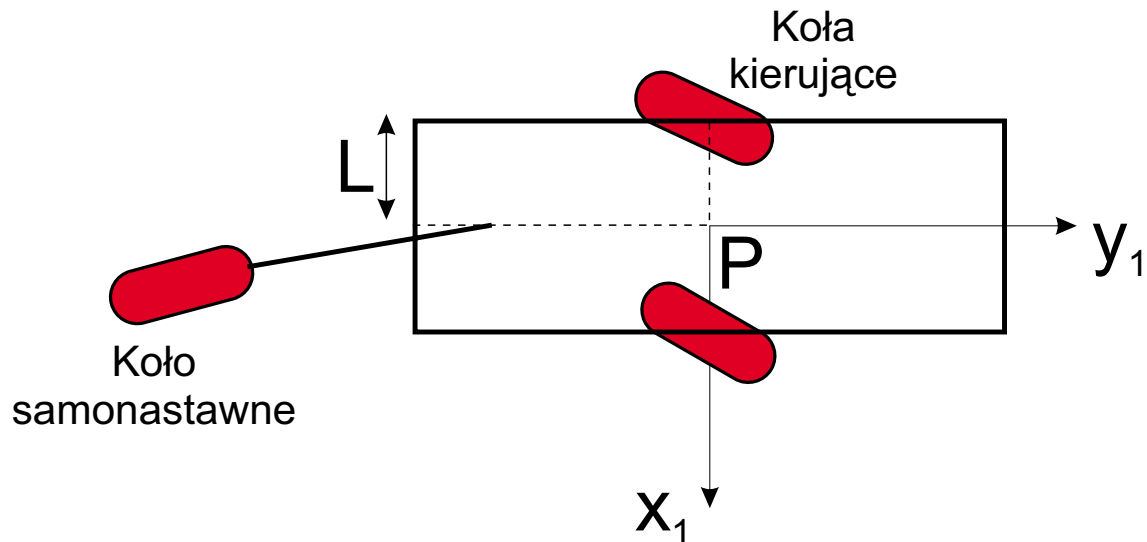
Macierze w równaniach więzów mają następującą postać:

$$J_1 = \begin{bmatrix} 0 & 1 & L \\ 0 & -1 & L \\ \cos \beta_3 & \sin \beta_3 & L \cos \beta_3 \end{bmatrix}; J_2 = \text{diag}(r)$$

$$C_1 = \begin{bmatrix} 1 & 0 & 0 \\ -1 & 0 & 0 \\ \sin \beta_3 & -\cos \beta_3 & L \sin \beta_3 \end{bmatrix}; C_2 = 0$$

**Typ (1, 2)** – robot z dwoma kołami orientowanymi względem środka (kierowanymi), bez kół stałych.

koła	$\alpha$	$\beta$	$l$
1c	0	-	$L$
2c	$\pi$	-	$L$
3oc	$\frac{3\pi}{2}$	-	$L$



Rys. 9: Robot z dwoma kołami kierującymi i jednym samonastawnym,  $\delta_m = 1$ ,  $\delta_s = 2$

Macierze w równaniach więzów mają następującą postać:

$$J_1 = \begin{bmatrix} -\sin \beta_1 & \cos \beta_1 & L \cos \beta_1 \\ \sin \beta_2 & -\cos \beta_2 & L \cos \beta_2 \\ \cos \beta_3 & \sin \beta_3 & L \cos \beta_3 \end{bmatrix}; J_2 = \text{diag}(r)$$

$$C_1 = \begin{bmatrix} \cos \beta_1 & \sin \beta_1 & L \sin \beta_1 \\ -\cos \beta_2 & -\sin \beta_2 & L \sin \beta_2 \\ \sin \beta_3 & -\cos \beta_3 & d + L \sin \beta_3 \end{bmatrix}; C_2 = \begin{bmatrix} 0 \\ 0 \\ d \end{bmatrix}$$

Dla każdego typu robota wektor prędkości  $\dot{\xi}(t)$  należy do dystrybucji  $\Delta_c$  zdefiniowanej jako

$$\dot{\xi}(t) \in \Delta_c \triangleq \text{span} \{ \text{col} R^T(\theta) P(\beta_c) \} \quad (20)$$

co jest równoważne stwierdzeniu, że

$$\forall t \exists \eta(t) \quad \dot{\xi} = R^T(\theta) P(\beta_c) \eta \quad (21)$$

Wymiar dystrybucji  $\Delta_c$ , a stąd wektora  $\eta$  jest stopniem mobilności  $\delta_m$  robota. Jeśli robot nie ma kół kierujących ( $\delta_s = 0$ ) to macierz  $P = \text{const}$ . W przeciwnym przypadku macierz  $P$  zależy jawnie od kąta  $\beta_c$  i model kinematyki można przedstawić w postaci równań:

$$\dot{\xi}(t) = R^T(\theta) P(\beta_c) \eta \quad (22)$$

$$\dot{\beta}_c = \mu \quad (23)$$

Można te równania przedstawić w zwartej postaci

$$\dot{\mathbf{q}} = G(\mathbf{q}) \mathbf{u} \quad (24)$$

gdzie

$$\mathbf{q} \triangleq \xi, \quad G(\mathbf{q}) \triangleq R^T(\theta) P, \quad \mathbf{u} \triangleq \eta \quad \text{gdy } \delta_s = 0$$

albo

$$\mathbf{q} \triangleq \begin{bmatrix} \xi \\ \beta_c \end{bmatrix}, \quad G(\mathbf{q}) \triangleq \begin{bmatrix} R^T(\theta) P(\beta_c) & 0 \\ 0 & I \end{bmatrix}, \quad \mathbf{u} \triangleq \begin{bmatrix} \eta \\ \mu \end{bmatrix} \quad \text{gdy } \delta_s \geq 1$$

## Modele kinematyki robotów kołowych

Typ	$\mathbf{q}$	$P(\beta_c)$ lub $P$	Równania kinematyki	
(3,0)	$x$ $y$ $\theta$	$I_{3 \times 3}$	$\begin{bmatrix} \dot{x} \\ \dot{y} \\ \dot{\theta} \end{bmatrix}$	$= \begin{bmatrix} \cos \theta & -\sin \theta & 0 \\ \sin \theta & \cos \theta & 0 \\ 0 & 0 & 1 \end{bmatrix} \begin{bmatrix} \eta_1 \\ \eta_2 \\ \eta_3 \end{bmatrix}$
(2,0)	$x$ $y$ $\theta$	$\begin{bmatrix} 0 & 0 \\ 1 & 0 \\ 0 & 1 \end{bmatrix}$	$\begin{bmatrix} \dot{x} \\ \dot{y} \\ \dot{\theta} \end{bmatrix}$	$= \begin{bmatrix} -\sin \theta & 0 \\ \cos \theta & 0 \\ 0 & 1 \end{bmatrix} \begin{bmatrix} \eta_1 \\ \eta_2 \end{bmatrix}$
(2,1)	$x$ $y$ $\theta$ $\beta_{c1}$	$\begin{bmatrix} -\sin \beta_{c1} & 0 \\ \cos \beta_{c1} & 0 \\ 0 & 1 \end{bmatrix}$	$\begin{bmatrix} \dot{x} \\ \dot{y} \\ \dot{\theta} \\ \dot{\beta}_{c1} \end{bmatrix}$	$= \begin{bmatrix} -\sin(\theta + \beta_{c1}) & 0 & 0 \\ \cos(\theta + \beta_{c1}) & 0 & 0 \\ 0 & 1 & 0 \\ 0 & 0 & 1 \end{bmatrix} \begin{bmatrix} \eta_1 \\ \eta_2 \\ \mu_1 \end{bmatrix}$
(1,1)	$x$ $y$ $\theta$ $\beta_{c3}$	$\begin{bmatrix} 0 \\ L \sin \beta_{c1} \\ \cos \beta_{c3} \end{bmatrix}$	$\begin{bmatrix} \dot{x} \\ \dot{y} \\ \dot{\theta} \\ \dot{\beta}_{c3} \end{bmatrix}$	$= \begin{bmatrix} -L \sin \theta \sin \beta_{c3} & 0 \\ L \cos \theta \sin \beta_{c3} & 0 \\ \cos \beta_{c3} & 0 \\ 0 & 1 \end{bmatrix} \begin{bmatrix} \eta_1 \\ \mu_1 \end{bmatrix}$
(1,2)	$x$ $y$ $\theta$ $\beta_{c1}$ $\beta_{c2}$	$\begin{bmatrix} -2L \sin \beta_{c1} \sin \beta_{c2} \\ L \sin(\beta_{c1} + \beta_{c2}) \\ \sin(\beta_{c2} - \beta_{c1}) \end{bmatrix}$	$\begin{bmatrix} \dot{x} \\ \dot{y} \\ \dot{\theta} \\ \dot{\beta}_{c1} \\ \dot{\beta}_{c2} \end{bmatrix}$	$= \begin{bmatrix} -L[\sin \beta_{c1} \sin(\theta + \beta_{c2}) + \sin \beta_{c2} \sin(\theta + \beta_{c1})] & 0 & 0 \\ -L[\sin \beta_{c1} \cos(\theta + \beta_{c2}) + \sin \beta_{c2} \cos(\theta + \beta_{c1})] & 0 & 0 \\ \sin(\beta_{c2} - \beta_{c1}) & 0 & 0 \\ 0 & 1 & 0 \\ 0 & 0 & 1 \end{bmatrix} \begin{bmatrix} \eta_1 \\ \mu_1 \\ \mu_2 \end{bmatrix}$

## Manewrowalność

Stopień manewrowalności:

$$\delta_M = \delta_m + \delta_s$$

Stopień mobilności  $\delta_m$  jest równy liczbie stopni swobody robota, które są **bezpośrednio** sterowane z wejść  $\eta$  bez reorientacji kół kierowalnych. Określa liczbę „dostępnych w każdej chwili” stopni swobody robota. Stopień sterowności  $\delta_s$  odpowiada stopniom swobody dostępnym za pomocą wejść  $\mu$ . Działanie  $\mu$  na współrzędne  $\xi$  jest pośrednie przez współrzędne  $\beta_c$ , które są związane z wejściami  $\mu$  akcją całkującą.

Dwa roboty o tej samej wartości  $\delta_M$ , ale z różnymi  $\delta_m$  mają różne możliwości ruchowe. Dla robotów z  $\delta_M = 3$  można dowolnie wybierać położenie chwilowego środka obrotu:

- dla typu (3,0) bezpośrednio z wejść  $\eta$ ,
- dla typów (2,1) i (1,2) przez orientację 1 lub 2 kół kierowalnych.

Dla robotów z  $\delta_M = 2$  chwilowy środek obrotu musi leżeć na prostej pokrywającej się z osią obrotu koła stałego. Jego położenie na tej prostej można wybierać:

- dla typu (2,0) bezpośrednio z wejścia  $\eta$ ,
- dla typów (1,1) przez orientację koła kierowalnego.

Ograniczenia na prędkości kątowe i obrotowe  $\dot{\beta}_{oc}$  i  $\dot{\varphi}$  bezpośrednio z równań (12) i (13):

$$\dot{\beta}_{oc} = \underbrace{-C_2^{-1}C_1(\beta_c, \beta_{oc})}_{D} R(\theta) \dot{\xi} \quad (25)$$

$$\dot{\varphi} = \underbrace{-J_2 J_1(\beta_c, \beta_{oc})}_{E} R(\theta) \dot{\xi} \quad (26)$$

Łącząc powyższe równania z modelem kinematyki (22) równania stanu dla  $\beta_{oc}$  i  $\varphi$  można zapisać

$$\dot{\beta}_{oc} = D(\beta_{oc})P(\beta_c)\eta \quad (27)$$

$$\dot{\varphi} = E(\beta_c, \beta_{oc})P(\beta_c)\eta \quad (28)$$

Definiując wektor współrzędnych konfiguracyjnych  $\mathbf{q}$  jako

$$\mathbf{q} \triangleq [\xi, \beta_c, \beta_{oc}, \varphi]^T \quad (29)$$

można zapisać konfiguracyjny model kinematyki w zwartej postaci

$$\dot{\mathbf{q}} = S(\mathbf{q})\mathbf{u} \quad (30)$$

gdzie

$$S(\mathbf{q}) \triangleq \begin{bmatrix} R(\theta)P(\beta_c) & 0 \\ 0 & I \\ D(\beta_{oc})P(\beta_c) & 0 \\ E(\beta_c, \beta_{oc})P(\beta_c) & 0 \end{bmatrix}; \quad \mathbf{u} \triangleq \begin{bmatrix} \eta \\ \mu \end{bmatrix} \quad (31)$$

Przykład: Robot trójkołowy z dwoma kołami napędowymi i kołem swobodnym samonastawnym. Wektor współrzędnych konfiguracyjnych  $\mathbf{q} = [x, y, \theta, \beta, \varphi_1, \varphi_2, \varphi_3]^T$ , gdzie  $\beta = \beta_{oc3}$

Ograniczenia fazowe (więzy ruchu):

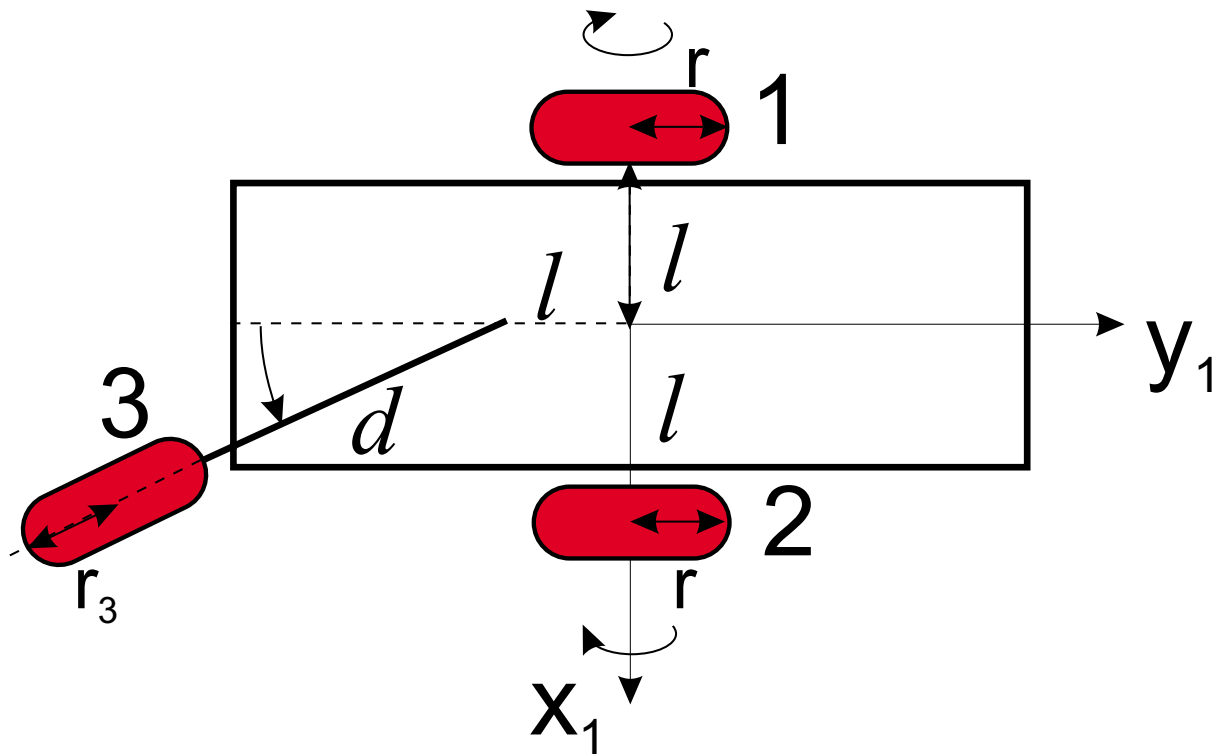
Toczenie się bez poślizgu bocznego kół

$$\begin{bmatrix} 1 & 0 & 0 \\ -1 & 0 & 0 \\ \sin \beta & -\cos \beta & d + L \cos \beta \end{bmatrix} \mathbf{R}(\theta) \begin{bmatrix} \dot{x} \\ \dot{y} \\ \dot{\theta} \end{bmatrix} + \begin{bmatrix} 0 \\ 0 \\ d \end{bmatrix} \dot{\beta} = \mathbf{0} \quad (32)$$

Toczenie się bez poślizgu wzdłużnego

$$\begin{bmatrix} 0 & 1 & l \\ 0 & -1 & l \\ \cos \beta & \sin \beta & L \cos \beta \end{bmatrix} \mathbf{R}(\theta) \begin{bmatrix} \dot{x} \\ \dot{y} \\ \dot{\theta} \end{bmatrix} + \begin{bmatrix} r & 0 & 0 \\ 0 & r & 0 \\ 0 & 0 & r_3 \end{bmatrix} \begin{bmatrix} \dot{\varphi}_1 \\ \dot{\varphi}_2 \\ \dot{\varphi}_3 \end{bmatrix} = \mathbf{0} \quad (33)$$





Rys. 10: Schemat kinematyczny robota trójkołowego,  $\delta_m = 2$ ,  $\delta_s = 0$

Konfiguracyjny model kinematyki określa macierz  $S(\mathbf{q})$  w postaci

$$S(\mathbf{q}) = \begin{bmatrix} -\sin \theta & 0 \\ \cos \theta & 0 \\ 0 & 1 \\ \frac{1}{d} \cos \beta & -(1 + \frac{L}{d} \sin \beta) \\ -\frac{1}{r} & -\frac{L}{r} \\ \frac{1}{r} & -\frac{L}{r} \\ -\frac{1}{r_3} \sin \beta & -\frac{L}{r_3} \cos \beta \end{bmatrix}$$

z modelu wynika, że

$$\dot{\varphi}_1 + \dot{\varphi}_2 = -\frac{2L}{r} \dot{\theta}$$

co oznacza, że  $\varphi_1 + \varphi_2 + \frac{2L}{r} \theta$  musi mieć stałą wartość wzdłuż każdej trajektorii spełniającej ograniczenia.

---

## Równania ruchu dla robota z napędem synchronicznym

**Robot z napędem synchronicznym** – każde koło może być napędzane i kierowane (tzn. możliwa jest zmiana orientacji osi obrotu koła). Koła są sprzężone mechanicznie za pomocą skomplikowanych mechanizmów paskowych. Koła są skierowane w tym samym kierunku i poruszają się z tą samą prędkością. Typową konfiguracją jest układ trzech kół kierowanych umieszczonych w wierzchołkach trójkąta równobocznego z cylindryczną platformą. Pozycję robota wektor opisuje wektor  $(x, y, \theta)$ . Zakłada się, że prędkość obrotowa  $\omega(t)$  i liniowa  $v(t)$  robota mogą być sterowane niezależnie. Ruch robota podlega następującym więzom nieholonomicznym: kierunek wektora prędkości liniowej  $v(t)$  zawsze dąży do kierunku ruchu wyznaczonego przez  $\theta$ . Współrzędne  $x, y$  i  $\theta$  są opisane następującymi zależnościami:

$$x(t) = x(t_0) + \int_{t_0}^t v(t) \cos \theta(t) dt \quad (34)$$

$$y(t) = y(t_0) + \int_{t_0}^t v(t) \sin \theta(t) dt \quad (35)$$

$$\theta(t) = \theta(t_0) + \int_{t_0}^t \omega(t) dt \quad (36)$$

Prędkość  $v(t)$  zależy od  $v(t_0)$  i przyspieszenia liniowego  $\dot{v}(t)$  w przedziale  $\tau \in [t_0, t]$ . Podobnie, orientacja  $\theta(t)$  jest zależna od orientacji początkowej  $\theta(t_0)$  i prędkości początkowej  $\omega(t_0)$  oraz przyspieszenia kątownego  $\dot{\omega}(t)$  w przedziale  $\tau \in [t_0, t]$ . Podstawiając za  $v(t)$  i  $\theta(t)$  współrzędną  $x$  w chwili  $t_n$  można wyrazić jako funkcję stanu początkowego i przyspieszeń:

$$x(t_n) = x(t_0) + \int_{t_0}^{t_n} \left( v(t_0) + \int_{t_0}^{\tau} \dot{v}(\tau) d\tau \right) \cdot \cos \left( \theta(t_0) + \int_{t_0}^{\tau} \left( \omega(t_0) + \int_{t_0}^{\tilde{t}} \dot{\omega}(\tilde{t}) d\tilde{t} \right) d\tilde{t} \right) d\tau \quad (37)$$

Biorąc pod uwagę, że w cyfrowych układach sterowania w pojedynczym kroku dyskretyzacji wartość zadana prądu silnika jest stała, a przyspieszenie jest proporcjonalne do prądu można przyjąć:  $\dot{v}(t) = const$  oraz  $\dot{\omega}(t) = const$  dla  $t \in [t_i, t_{i+1}]$  ( $i = 1, \dots, n$ ). Przy założeniu przedziałami stałych przyspieszeń równanie (37) przyjmuje postać

$$x(t_n) = x(t_0) + \sum_{i=0}^{n-1} \int_{t_i}^{t_{i+1}} (v(t_i) + \dot{v}_i \Delta_t^i) \cos(\theta(t_i) + \omega(t_i) \Delta_t^i + \frac{1}{2} \dot{\omega}_i (\Delta_t^i)^2) dt \quad (38)$$

gdzie  $\Delta_t^i = t - t_i$  dla  $i = 1, \dots, n$ .

Dla uproszczenia równania (38) zakłada się, że prędkość na przedziale  $[t_i, t_{i+1}]$  jest stała. Jeśli przedział jest dostatecznie mały, wówczas dzięki gładkości ruchu mamy

$$v(t_i) + \dot{v}_i \Delta_t^i \approx v_i,$$

gdzie  $v_i$  dowolna prędkość z przedziału  $v_i \in [v(t_i), v(t_{i+1})]$  oraz

$$\theta(t_i) + \omega \Delta_t^i + \frac{1}{2} \dot{\omega}_i (\Delta_t^i)^2 \approx \theta(t_i) + \omega_i \Delta_t^i,$$

gdzie  $\omega_i$  dowolna prędkość z przedziału  $\omega_i \in [\omega(t_i), \omega(t_{i+1})]$ . Stąd

$$x(t_n) = x(t_0) + \sum_{i=0}^{n-1} \int_{t_i}^{t_{i+1}} v_i \cos(\theta(t_i) + \omega_i (\tau - t_i)) d\tau \quad (39)$$

Po scałkowaniu mamy

$$x(t_n) = x(t_0) + \sum_{i=0}^{n-1} (F_x^i(t_{i+1})) \quad (40)$$

gdzie

$$F_x^i(t) = \begin{cases} \frac{v_i}{\omega_i} [\sin \theta(t_i) - \sin(\theta(t_i) + \omega_i (t - t_i))], & \text{dla } \omega_i \neq 0 \\ v_i \cos(\theta(t_i)) \cdot t, & \text{dla } \omega_i = 0 \end{cases} \quad (41)$$

Podobnie dla współrzędnej  $y$

$$y(t_n) = y(t_0) + \sum_{i=0}^{n-1} (F_y^i(t_{i+1})) \quad (42)$$

gdzie

$$F_y^i(t) = \begin{cases} -\frac{v_i}{\omega_i} [\cos \theta(t_i) - \cos(\theta(t_i) + \omega_i (t - t_i))], & \text{dla } \omega_i \neq 0 \\ v_i \sin(\theta(t_i)) \cdot t, & \text{dla } \omega_i = 0 \end{cases} \quad (43)$$

Jeśli  $\omega_i = 0$  robot porusza się po linii prostej, zaś gdy  $\omega_i \neq 0$  po łuku okręgu

$$(F_x^i - M_x^i)^2 + (F_y^i - M_y^i)^2 = \left(\frac{v_i}{\omega_i}\right)^2 \quad (44)$$

gdzie

$$M_x^i = -\frac{v_i}{\omega_i} \sin \theta(t_i) \quad (45)$$

$$M_y^i = \frac{v_i}{\omega_i} \cos \theta(t_i) \quad (46)$$

Górne ograniczenia błędów aproksymacji:

$$E_x^i, E_y^i \leq |v(t_{i+1}) - v(t_i)| \Delta t_i$$